

05;11;12

©1993 г.

## ОСОБЕННОСТИ ПЕРЕМАГНИЧИВАНИЯ ФЕРРИТ-ГРАНАТОВЫХ ПЛЕНОК ТИПА (210)

*Е.Н.Ильчева, А.Г.Шишков, А.М.Балбашов, Ю.Н.Федюнин, А.В.Клушина*

Эпитаксиальные феррит-гранатовые пленки, осажденные из расплава на поверхности (210) кристалла-подложки, обладают значительной ромбической анизотропией и рассматриваются как квазиодноосный магнетик с преимущественной осью, отклоненной от нормали на угол  $\theta_0 \sim 30^\circ$ . Пленки имеют ориентированную полосовую доменную структуру, их намагничивание осуществляется движением  $180^\circ$ -ных доменных границ под действием как нормального поля смещения, так и плоскостного поля. Предложен тензор магнитной восприимчивости, который определяется эффективным размагничивающим фактором полосовой структуры и углом наклона оси  $\theta_0$ . Получены критические кривые зародышеобразования обратных доменов, поля коллапса наклоненных цилиндрических магнитных доменов и сдвига кривых намагничивания при подмагничивании ортогональным полем. Представлена простая методика определения ориентации преимущественной оси и нахождения величины спонтанной намагниченности  $M_s$ . Это расширяет возможности технического применения пленок (210).

### Введение

Феррит-гранатовые пленки состава  $(\text{BiLu})_3(\text{FeGa})_5\text{O}_{12}$ , эпитаксиально осажденные из расплава на поверхности кристалла-подложки с ориентацией (210), обладают орторомбической магнитной анизотропией ( $K_p$ ) и значительно более слабой кристаллографической кубической ( $K_c$ ) и одноосной ( $K_u$ ) анизотропией, так что результирующая ось легчайшего намагничивания отклоняется от нормали на некоторый угол  $\theta_0$ . Эти пленки имеют значительную анизотропию в плоскости пленки и благодаря высокой магнитооптической добротности получили применение в устройствах памяти и обработки информации [1]. Доменные границы пленок (110) и (210) имеют повышенную подвижность и весьма высокую предельную скорость [2], что улучшает быстродействие тонкопленочных элементов различных устройств.

Цель настоящей работы — изучение доменной структуры и выявление особенностей процессов квазистатического намагничивания пленок типа (210).

## Методика исследования и изученные образцы

Изучение доменной структуры и измерение параметров квазистатического намагничивания пленок проводились с помощью магнитооптического эффекта Фарадея. Доменная картина и изображение доменных границ, наблюдавшиеся в модернизированном поляризационном микроскопе БИОЛАМ-212, выявлялись как в светлом поле, так и по методу темного поля при одностороннем косом освещении и диафрагмировании дифракционного потока. Намагничивание пленки осуществлялось с помощью ортогональной системы катушек Гельмгольца, создающих поле смещения  $H_z$  вдоль нормали к поверхности пленки и поле  $H_x$  в плоскости образца, параллельное ориентации доменных границ. Кроме того, использовалось импульсное поле смещения, создававшееся с помощью небольшой плоской катушки, нанесенной на поверхность образца.

Исследовались изготовленные в МЭИ образцы эпитаксиальных феррит-гранатовых пленок состава  $(\text{BiLu})_3(\text{FeGa})_5\text{O}_{12}$ , осажденных из жидкой фазы на поверхности подложки с ориентацией (210) при несоответствии параметров решетки пленки и подложки  $\Delta a/a \approx 2 \cdot 10^{-3}$ . Удельное фарадеевское вращение плоскости поляризации света в пленке (210)  $\theta_F = 10400$  град/см. Измеренные на магнитооптическом анизометре по методу, описанному в [3], константы кубической магнитной анизотропии  $K_c = 1555$  Эрг/см<sup>3</sup>, ромбической анизотропии  $K_p = 3340$  Эрг/см<sup>3</sup>, одноосной анизотропии  $K_u = -310$  Эрг/см<sup>3</sup>. Наибольшее эффективное поле анизотропии  $H_{kp} = 1400$  Э измерено в МГУ В.И.Козловым с помощью ферромагнитного резонанса. Изучены пленки типа (210) толщиной 13 и 18.7 мкм, имеющие в размагниченном состоянии период полосовой доменной структуры  $P_0$  соответственно 26.2 и 29.5 мкм. Основные магнитные параметры этих пленок представлены в таблице.

Номер пленки	$h$ , мкм	$P_0$ мкм	Восприимчивость относительная		$\operatorname{tg} \theta_0$				$M_s,^*$ Гс		
			$\chi'_{zz}, \text{Э}^{-1}$	$\chi'_{zx}, \text{Э}^{-1}$	$\chi'_{zx}/\chi'_{zz}$	$\frac{H_z(0)}{H_x(0)}$	$(\frac{H_z}{H_x})_{cd}$	$\frac{H_z N}{H_x N}$	1	2	3
1	18.7	26.2	0.024	0.013	0.52	0.52	0.54	0.57	5.4	5.2	4.4
2	13.0	29.5	0.036	0.018	0.52	0.51	0.50	0.52	4.8	4.3	4.5

\* Определение спонтанной намагниченности  $M_s$ : 1 — по магнитной восприимчивости (формула (8)); 2 — по полю коллапса ЦМД (формула (7)); 3 — по измерениям на вибромагнитометре.

## Доменная структура и процессы намагничивания пленок типа (210)

В силу преобладания орторомбической магнитной анизотропии ( $K_p > K_c \gg K_u$ ) в пленках (210) результирующая ось легчайшего намагничивания отклонена от нормали к поверхности образца на угол  $\theta_0 \sim 30^\circ$  и в плоскости образца имеется преимущественная ось ( $OX$ ), вдоль которой ориентируются стенки доменов. Из наблюдений магнитооптического контраста по реакции на изменение полярности компонент магнитного

поля  $\pm H_z$  и  $\pm H_x$  следует вывод, что намагниченность в соседних доменах знакопеременна: компоненты локальной намагниченности в доменах  $M_z$  и  $M_x$  одновременно меняют знак при переходе от одного домена к соседнему, т.е. стенки между доменами являются  $180^\circ$ -ными. После размагничивания вдоль оси  $0\bar{X}$  квазиодноосные пленки (210) имеют почти упорядоченную ориентированную полосовую доменную структуру с периодом  $P_0$ .

Намагничивание осуществляется в основном вследствие поступательного движения параллельных стенок при почти неизменном периоде  $P = P_0$  вплоть до достижения средней намагниченности  $\bar{M}_z \approx 0.4 \cdot M_s$ . При дальнейшем увеличении поля происходит существенное увеличение периода (уменьшение числа доменных стенок), сопровождающееся монотонным увеличением восприимчивости по мере приближения к насыщению.

Вследствие существенного наклона оси легчайшего намагничивания относительно нормали намагничивание пленок (210) осуществляется не только под действием поля смещения  $H_z$ , но и в плоскостном поле  $H_x$ , тогда как поле  $H_y$ , перпендикулярное доменам, почти не влияет на суммарную намагниченность  $\bar{M}$ . Так что  $\bar{M}_x = H_x \cdot \chi_{xx} + H_z \cdot \chi_{xz}$  и  $\bar{M}_z = H_z \cdot \chi_{zz} + H_x \cdot \chi_{zx}$ , где  $\chi_{ik}$  — компоненты тензора магнитной восприимчивости, зависящие от угла  $\theta_0$  наклона оси легчайшего намагничивания. Измеряемая  $z$ -компоненты средней намагниченности  $\bar{M}_z$  определяется суммарным магнитным давлением поля на  $180^\circ$ -ные доменные стенки

$$\bar{M}_z = (H_z + \operatorname{tg} \theta_0 \cdot H_x) \cdot \chi_{zz}. \quad (1)$$

В таком случае соотношение компонент тензора магнитной восприимчивости имеет вид

$$\chi_{zz} = \operatorname{tg} \theta_0 \cdot \chi_{xx}. \quad (2)$$

С помощью эффекта Фарадея мы измеряли приведенные (относительные) кривые намагничивания и петли гистерезиса  $m_z = \Delta M_z / M_{sz} = = f(H_x, H_z)$  в полях до  $100$  Э. Постоянное подмагничивающее поле ( $H_x$  или  $H_z$ ) вызывает смещение кривой намагничивания или сдвиг (смещение) петли гистерезиса (рис. 1,2). Видно, что при подмагничивании форма сдвинутых петель гистерезиса почти сохраняется. Коэрцитивная сила смещения доменных границ  $H_c \approx 1-2$  Э. Наличие линейных наклонных участков петли гистерезиса свидетельствует об относительном постоянстве восприимчивости при  $\Delta M_z / M_s < 0.4$ .

Ранее в [4] было показано, что в эпитаксиальных феррит-гранатовых пленках типа (111) магнитная восприимчивость смещения доменных стенок ограничена размагничивающими полями доменов так, что  $\chi_{\max} = = N_z^{-1}$ , где  $N_z$  — эффективный размагничивающий фактор системы полосовых доменов. Величина  $N_z$  может быть получена из выражения для плотности магнитостатической энергии  $\varepsilon_m$  системы полосовых доменов. [5]

$$N_z \approx \frac{\partial^2 \varepsilon_m}{\partial M_z^2} \Big|_{P=\text{const}} = 4\pi \left( \frac{P}{h} \right) \left[ \ln 2 - \exp \left( -2\pi \frac{h}{P} \right) + \frac{1}{2} \exp \left( -4\pi \frac{h}{P} \right) - \dots \right]. \quad (3)$$

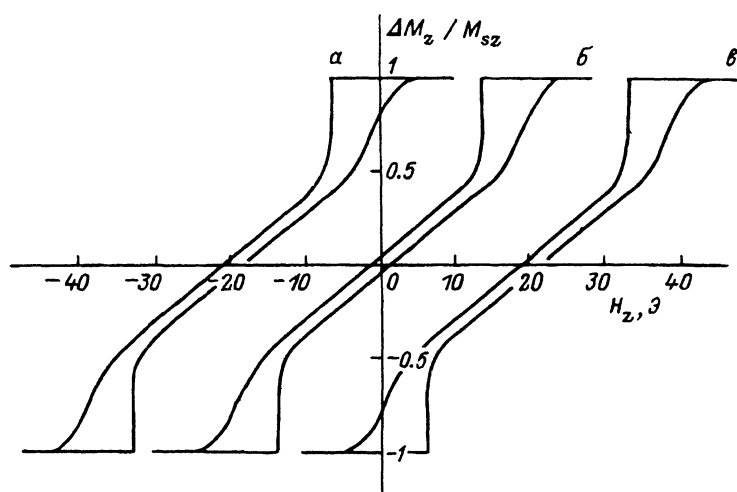


Рис. 1. Приведенные (относительные) петли магнитного гистерезиса  $\Delta m_z = \Delta M_z / M_{sz} = f(H)$  при ортогональном подмагничивании. Пленка 2.  
 $a - в — m_z = f(H_z); H_x, \Theta: a — 40, б — 0, в — 40.$

Отсюда абсолютное значение необратимой магнитной восприимчивости для системы полосовых доменов ( $P < 2h$ ) приближенно равно

$$\chi_{zz} \approx N_z^{-1} \approx [4\pi - 2.8P/h]^{-1}. \quad (4)$$

Принимая во внимание неизменность ориентации локального вектора намагниченности в домене, для процессов смещения стенок в пленке (210) получаем тензор восприимчивости в форме

$$\hat{\chi}_{\text{смеш}} = \begin{vmatrix} N_z^{-1} \cdot \operatorname{tg}^2 \theta_0 & \sim 0 & N_z^{-1} \cdot \operatorname{tg} \theta_0 \\ \sim 0 & \sim 0 & \sim 0 \\ N_z^{-1} \cdot \operatorname{tg} \theta_0 & \sim 0 & N_z^{-1} \end{vmatrix}. \quad (5)$$

Восприимчивость вращения спонтанной намагниченности  $\chi_{\text{вращ}} \sim \sim M_s^2 / 2K_p \sim 4 \cdot 10^{-3}$ , что значительно меньше  $\chi_{\text{смеш}} \approx 0.01 - 0.10$  в зависимости от величины  $P/h$ . Так что нулевые компоненты тензора смещения доменных границ в действительности имеют порядок  $\chi_{\text{вращ}}$ , которым мы пренебрегаем. Полями рассеяния в плоскости мы также пренебрегаем, поскольку размагничивающий фактор  $N_x \ll N_z$ .

Относительную намагниченность пленки  $m_z = \bar{M}_z / M_s \cdot \cos \theta_0$  достаточно точно можно определить по доменной структуре, измеряя среднюю ширину  $d_1$  и  $d_2$  соседних полосовых доменов при намагничивании  $m_z \approx (d_1 - d_2) / (d_1 + d_2)$ . На рис. 2,  $a - в$  показано изменение ширины разнополярных доменов ( $d_1$  и  $d_2$ ), а также периода полосовой структуры  $P = d_1 + d_2$  под действием магнитного поля ( $H_x, H_z$ ). Здесь же построены кривые относительной намагниченности  $m_z(H_z)$  и  $m_z(H_x)$ , а также кривая  $m_z(H_x)$  при наличии постоянного подмагничивающего поля  $H_z = 22 \text{ Э}$ . По наклону кривых  $m_z(H_z)$  и  $m_z(H_x)$  находим приведенные восприимчивости  $\chi'_{zz}$  и  $\chi'_{xz}$ . Данные рис. 2 убедительно демонстрируют, что линейный участок кривой намагничивания  $m_z(H)$  (т.е. постоянство магнитной

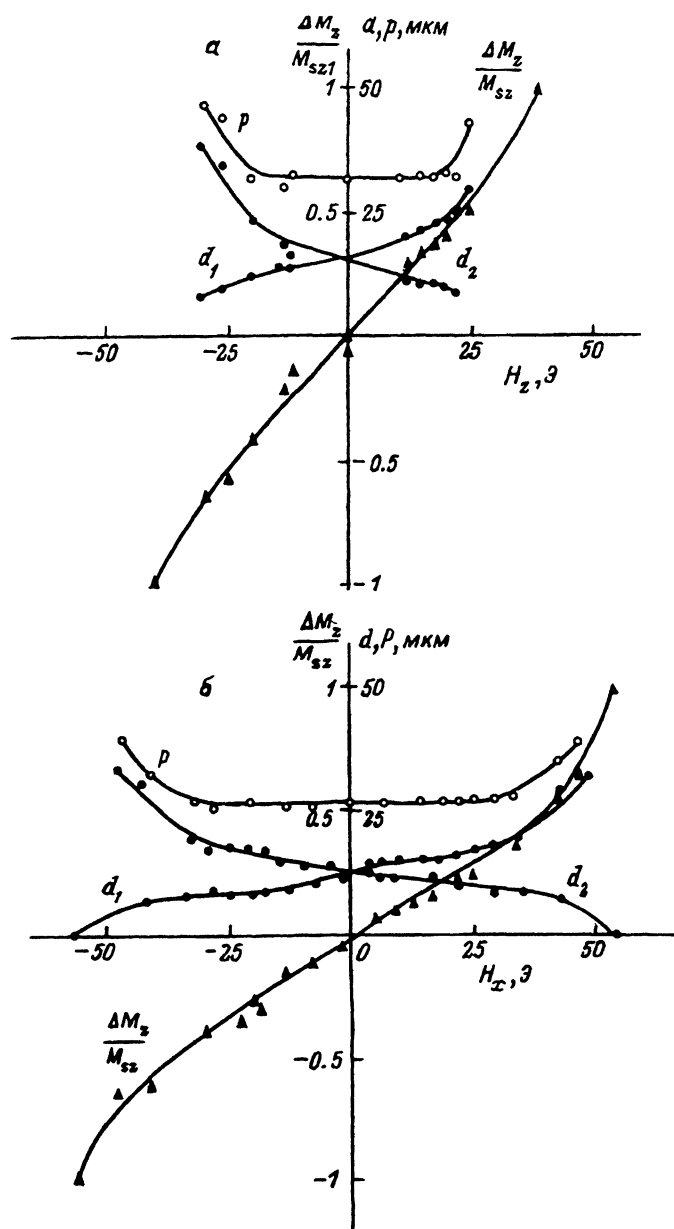


Рис. 2. Изменение ширины соседних доменов  $d_1$  и  $d_2$ , периода полосовых доменов  $P = d_1 + d_2$  и приведенной намагниченности  $m_z$  под действием намагничивающего поля. Пленка 2.

$\alpha$  —  $H_x = 0$ ,  $m_z(H_x)$ ;  $\beta$  —  $H_x = 0$ ,  $m_z(H_x)$ ;  $\sigma$  —  $H_x = 22 \text{ Oe}$ ,  $m_z(H_x)$ .

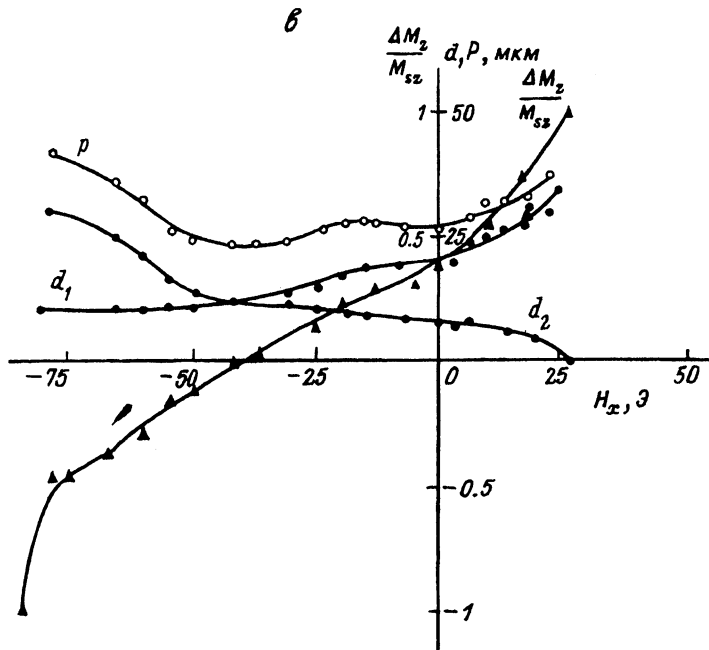


Рис. 2. Продолжение.

восприимчивости) соответствует неизменности периода  $P(H)$  на участке  $m_z < 0.4$ . Увеличение магнитной восприимчивости при дальнейшем увеличении напряженности поля обусловлено довольно резким возрастанием периода  $P(H)$ , осуществляющимся за счет необратимого выбегания ядер магнитных дислокаций. Такой механизм увеличения периода  $P(H)$  в пленках (210) показан на рис. 3. В критическом сжимающем ядре дислокации поле  $H_{zc} \sim 0.4N_z M_s$  нарушается равновесие между лапласовским сжатием и магнитостатическим растяжением круглой вершины ядра магнитной дислокации и наступает резкое "выбегание" ядра и соответствующее локальное увеличение "периода" структуры. Критический диаметр ядра  $d_c$  близок к диаметру коллапса изолированного ЦМД, т.е.  $d_c \approx P_0/4$ . Такая же закономерность наблюдалась ранее и на пленках типа (111), имевших лабиринтную доменную структуру. При этом в пленках (111) наблюдалось довольно резкое увеличение магнитной восприимчивости (фазовый переход II рода) [6]. Кроме того, данные рис. 2, а-в показывают, как сдвигается кривая намагничивания  $m_z(H_x)H_z$  при подмагничивании пленок типа (210) полем  $H_z$ . В соответствии с выражениями (3) и (4) в достаточно сильном поле  $H_z > H_{zc}$ , когда увеличивается средний период полосовой структуры  $P$  и уменьшается размагничивающий фактор  $N_z$ , происходит заметное увеличение дифференциальной магнитной восприимчивости в полях, близких к насыщению.

Представляет интерес случай совместного действия полей  $H_x$  и  $H_z$ , приведенный на рис. 2, в. При одностороннем воздействии (например, при  $H_x > 0$  и  $H_z > 0$ ) после достижения суммарного критического поля период  $P$  резко растет при увеличении  $H$ . Но при воздействии

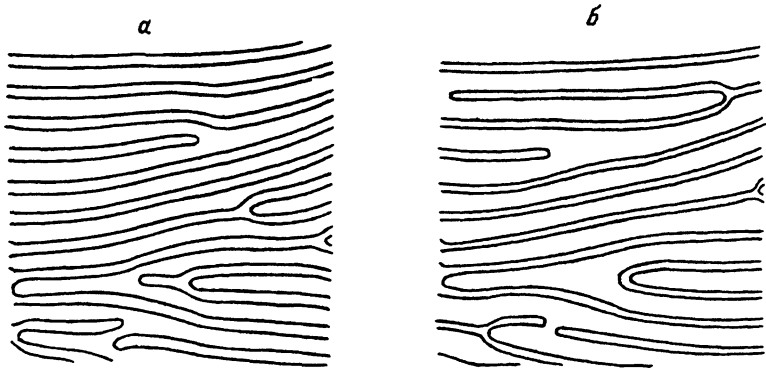


Рис. 3. Доменная структура при скрещенных поляроидах. Пленка 2.  
 $H_x$ : а — 0, б — 16;  $H_z = 6$  Э.

отрицательного поля  $H_x$  при  $H_z > 0$  наблюдается немонотонное изменение периода  $P(H_x)$ : период сначала растет, затем уменьшается, проходя через минимум в размагниченном состоянии ( $d_1 \approx d_2$ ), и затем  $P$  заметно возрастает. Разнообразное изменение периода доменной структуры пленок (210) обусловлено сложным поведением магнитных дислокаций, концевых и петлеобразных доменов, имеющих два знака (направления) намагниченности  $M_s$  в доменах (рис. 3). Наблюдаются необратимое выбегание концевых доменов и вершин магнитных дислокаций, вызывающее увеличение магнитного периода. В других условиях происходит уменьшение периода вследствие удлинения свободных концов доменов наподобие явления эллиптической неустойчивости домена при его росте.

### Сдвиг кривых намагничивания и петель гистерезиса пленок (210) при воздействии ортогонального подмагничающего поля

Показанное на рис. 1 и 2 смещение петель гистерезиса, кривых намагничивания  $m_z(H_z)$  и  $m_z(H_x)$  при воздействии ортогонального подмагничающего поля  $H_x$  или  $H_z$  характерно для магнитоодноосных пленок с наклоненной ОЛН. Форма сдвинутых петель гистерезиса, как отмечалось ранее, практически остается неизменной. Это важное обстоятельство связано с движением 180°-ных доменных границ и с отсутствием заметного вращения спонтанной намагниченности в доменах.

Наиболее простой характеристикой сдвига петель гистерезиса является критическое поле  $H_x(0) = f(H_z)$  или  $H_z(0) = \varphi(H_x)$ , при котором намагниченность  $m_z$  проходит через нуль (размагниченное состояние). При этом давление на доменную стенку со стороны полей  $H_x(0)$  и  $H_z(0)$  уравновешивается, в соответствии с (1) получаем

$$\operatorname{tg} \vartheta_0 = -\frac{H_z(0)}{H_x(0)}. \quad (6)$$

Следует подчеркнуть равноправие перемагничающего и подмагничающего полей. По критическим полям  $H_x(0) = f(H_z)$  и  $H_z(0) = \varphi(H_x)$  на рис. 4 построена сдвиговая кривая, соответствующая

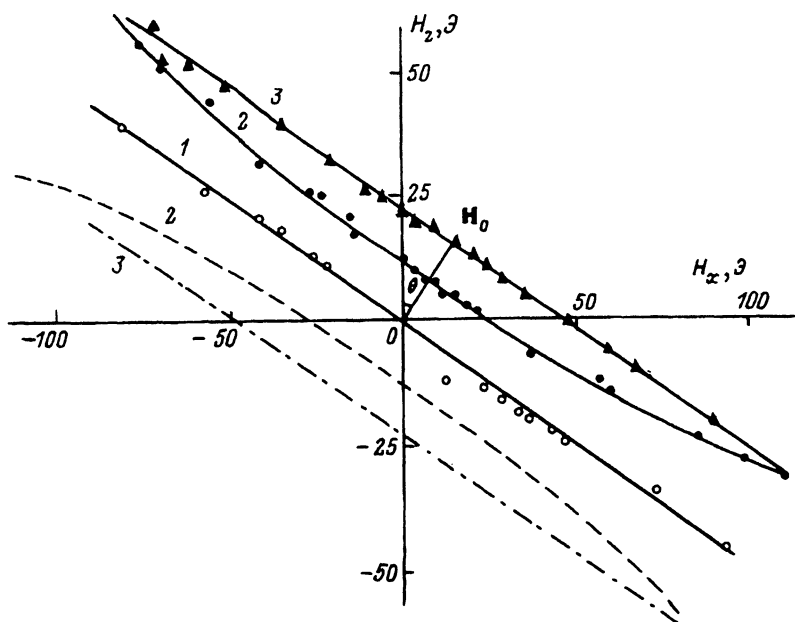


Рис. 4. Критические кривые перемагничивания пленки 2.

1 — поле сдвига кривых намагничивания, 2 — поле зародышеобразования доменов, 3 — поле коллапса наклоненных ЦМД; сплошные кривые — для  $M_s > 0$ , пунктир — для  $M_s < 0$ .

$m_z = 0$  (кривая 1), проходящая через начало координат и наклоненная на угол  $\theta_0$ . Линейность критической кривой соответствует предположению о неизменной ориентации вектора  $M_s$  в доменах и соответствует равенству  $\chi_{zz}$  и  $\chi_{xx}$  вблизи  $m_z \approx 0$ .

### Образование доменов с обратной намагниченностью

После магнитного насыщения образца при снижении напряженности поля образование зародыша (нуклеация) начинается при определенном поле  $H_n$  в местах с локальной неоднородностью магнитных параметров. Обычно зародыши образуются у краев пленки, и домены, разрастаясь, заполняют всю поверхность пленки. Для наблюдения зародышеобразования в центральной части образца использовалось локальное импульсное поле смещения  $H_z$ , под действием которого образуются цилиндрические магнитные домены, легко выявляемые магнитооптически в микроскопе. Помимо постоянного поля  $H_{zn}$  здесь использовались импульсы амплитудой  $\Delta H_z \sim 3-5 \text{ Э}$  и длительностью  $\lesssim 1 \text{ мкс}$ . Нуклеация происходит не только в поле  $H_{zn}$ , но и в плоскостном поле  $H_{xn}$  (петли гистерезиса на рис. 1).

На рис. 4 кривой 2 представлена функциональная зависимость ( $H_{zn}$ ,  $H_{xn}$ ) поля зародышеобразования нерегулярной решетки цилиндрических магнитных доменов. В области согласного действия полей ( $H_x > 0$ ,  $H_z > 0$ ) и вблизи нее кривая зародышеобразования близка к линейной зависимости, кривая 2 почти параллельна кривой 1 (сдвиг петель гистерезиса). Найденный по наклону кривой 2  $\operatorname{tg} \theta_0 = -H_{zn}/H_{xn}$  хорошо

согласуется со значениями, полученными другими методами (см. таблицу). В области противодействующих сильных полей  $H_z$  и  $H_x$  наблюдается отступление кривой  $\vartheta$  от линейности, и в конце концов обнаружено ограничение полей  $H_n$ , в которых еще возможно наблюдать образование доменов.

В исследованных пленках (210), так же как и в пленках с цилиндрическими магнитными доменами типа (111), зародышеобразование происходит в сравнительно положительном магнитном поле ( $H_n < 4\pi M_s \ll H_k$ ). Следовательно, определяющим процессом здесь является не вращение локальной намагниченности, опирающееся на критическую астроиду  $H_{zn}^{2/3} + H_{xn}^{2/3} \approx H_k^{2/3}$ . Зарождение и формирование устойчивых обратных доменов регулируется давлением магнитного поля  $2M_s H_n$  на стеки доменов, когда образуется наклоненный цилиндрический магнитный домен. Конкретный механизм снижения критического поля зародышеобразования в эпитаксиальных феррит-гранатовых пленках пока еще не установлен [6].

### Коллапс наклоненных цилиндрических магнитных доменов в пленках (210)

В пленках с перпендикулярной намагниченностью имеется предельное поле  $H_{z0}$ , при котором наступает разрушение (коллапс) цилиндрического магнитного домена, имевшего наименьший устойчивый диаметр  $d_0$ . При технологическом производстве таких пленок выдвигается жесткое требование воспроизводимости поля коллапса от образца к образцу в пределах 1–2%. Величина  $H_0$  обычно используется для определения спонтанной намагниченности  $M_s$  на основе, например, приближенной зависимости [6]

$$H_0 \approx 4\pi M_s \left( 1 - \sqrt{\frac{3l}{h}} + \frac{3}{4} \frac{l}{h} \right), \quad (7)$$

где  $l = \sigma_w / 4\pi M_s^2$  — характерная длина материала пленки.

В пленках типа (210) наклон на угол  $\vartheta_0$ , и поэтому для них справедливость формулы (7) вызывает сомнение. В наших образцах приведенная толщина  $(h/l)_{\theta_0} = (h4\pi M_s^2 / \sigma_w) \cdot \cos^2 \theta_0$  на 20% ниже, чем  $(h/l)$  у соответствующих пленок (111). В работе [7] дана термодинамическая теория наклоненных доменов и показано значительное снижение поля коллапса  $H_{z0}$  по мере увеличения угла  $\vartheta_0$  наклона оси легчайшего намагничивания (пропорционально  $\cos^4 \vartheta$ ). К сожалению, точных данных для расчета поля коллапса и определения величины  $M$  в пленках (210) в работе [7] не приводится.

Как показали наши наблюдения, в пленках (210) коллапс наклоненных доменов происходит не только в сжимающем магнитном поле  $H_{z0}$ , но и в соответствующем плоскостном поле  $H_{x0}$ . Результаты измерений комплексного поля коллапса  $(H_{x0}, H_{z0})$ , представленные кривой  $\vartheta$  на рис. 4, хорошо ложатся на прямую, наклоненную на угол  $\vartheta_0$  по отношению к оси  $H_x$ . Минимальное значение поля коллапса  $H_{0\min} = H_{z0}(H_x = 0) \cdot \cos \vartheta_0 = H_{x0}(H_z = 0) \cdot \sin \vartheta_0$  (направлено вдоль оси легчайшего намагничивания). Кривая  $\vartheta$  описывает систему полей, создающих на стеки цилиндрических магнитных доменов критическое давление внешнего магнитного поля  $2H_0 M_s = 2H_{0\min} M_s$ , вызывающее коллапс. Построенные на рис. 4 три

различные критические кривые идут почти параллельно друг другу, показывая одинаковый угол наклона оси легчайшего намагничивания  $\vartheta_0$ . В случае, когда поле приложено почти вдоль этой оси, поле зарождения обратных доменов  $H_{n\min}$  равно половине минимального поля коллапса  $H_{0\min}$ , что в соответствии с теорией цилиндрических магнитных доменов равно полю эллиптической неустойчивости зародившегося домена ( $H_n \approx H_2$ ), когда начинается его вытягивание. Кривые 2 и 3 пересекаются при достаточно больших напряженостях противодействующих полей  $H_x$  и  $H_z$ . После пересечения кривых 2 и 3 зарождение обратных доменов не наблюдается, так как в поле  $H > H_0$  наступает коллапс — аннигиляция новых доменов.

### Методы определения ориентации ОЛН и величины спонтанной намагниченности

В тонких пленках задача прямого измерения спонтанной намагниченности  $M_s$  вообще затруднительна из-за малости объема образца и вследствие необходимости применения высокочувствительных методов (крутильные весы, вибромагнитометр и др.). На основе проведенных исследований мы предлагаем простой и достаточно надежный способ косвенного определения  $M_s$  путем магнитооптического измерения приведенной магнитной восприимчивости  $\chi'_{zz} = \Delta m_z / \Delta H_z$  и сопоставления ее с абсолютным значением необратимой магнитной восприимчивости  $\chi_{zz}(P/h) \approx N_z^{-1}$ . Эффективный размагничивающий фактор системы полосовых доменов  $N_z$  определяется по отношению периода полос  $P_0$  к толщине пленки  $h$ . В итоге имеем

$$M_s \cos \vartheta_0 = \chi_{zz} / \chi'_{zz} = (N_z \cdot \chi'_{zz})^{-1}. \quad (8)$$

Угол  $\vartheta_0$  отклонения оси легчайшего намагничивания от нормали, как показано выше, может быть найден несколькими независимыми способами. В таблице приведены результаты определения  $\tg \vartheta_0$  а) по отношению двух компонент тензора восприимчивости  $\chi'_{zz} / \chi'_{xz}$  (2), б) по отношению компонент поля сдвига петель гистерезиса или кривых намагничивания (6), в) по отношению  $H_{zn} / H_{xn}$  полей зародышеобразования, г) по отношению  $H_{z0} / H_{x0}$  полей коллапса наклоненного цилиндрического магнитного домена. Все эти способы дают практически одинаковые значения угла  $\vartheta_0$ , что позволяет из (8) найти величину спонтанной намагниченности. Оценка  $M_s$  по измеренной восприимчивости  $\chi'_{zz}$  хорошо согласуется с результатами прямого измерения намагниченности с помощью вибромагнитометра, проведенного Н.С.Перовым (МГУ) на тех же образцах с учетом парамагнитного вклада от подложки (см.таблицу).

### Краткие итоги работы

Исследованные нами эпитаксиальные феррит-гранатовые пленки типа (210) с преобладающей орторомбической магнитной анизотропией могут рассматриваться как квазидноосные пленки с осью легчайшего намагничивания, отклоненной от нормали на угол  $\vartheta_0 \approx 30^\circ$ . В них наблюдается ориентированная полосовая доменная структура, поэтому они служат хорошим модельным объектом, подчиняющимся теории не хуже пленок с

перпендикулярной анизотропией типа (111), имеющих лабиринтную доменную структуру.

Намагничивание пленок (210) осуществляется движением 180°-ных доменных стенок, управляемых полем смещения  $H_z$  и плоскостным полем  $H_x$ . Намагничивание ограничивается магнитостатикой полей рассеяния, характеризуемых эффективным размагничивающим фактором системы полосовых доменов  $N_z$ , зависящим от соотношения периода полос  $P_0$  к толщине пленки  $h$ . Предложена форма тензора магнитной восприимчивости, обусловленной смещением доменных стенок в пленках с наклоненной осью легчайшего намагничивания.

На основе детального изучения процессов намагничивания и измерения критических полей пленок (210) разработана простая методика надежного определения основных магнитных параметров: спонтанной намагченности  $M_s$ , ориентации оси легчайшего намагничивания (угол  $\vartheta_0$ ), компонент тензора магнитной восприимчивости  $\chi_{ik}$  и др.

### Список литературы

- [1] Рандошкин В.В., Червоненкис А.Я. Прикладная магнитооптика. М.: Энергоиздат, 1990. 319 с.
- [2] Боков В.А., Волков В.В., Петриченко Н.Л. и др. // ФТТ. 1989. Т. 31. Вып. 11. С. 310–311.
- [3] Балбашов А.М., Дикштейн И.Е., Лисовский Ф.В. и др. // Микроэлектроника. 1990. Т. 19. № 1. С. 45–54.
- [4] Бажажин Г.А., Ильичева Е.Н., Мушенкова И.В. и др. // ЖТФ. 1985. Т. 55. Вып. 2. С. 396–399.
- [5] Kooy C., Enz U. // Philips Res. Rept. 1960. Vol. 15. N 1. P. 7–29.
- [6] Элементы и устройства на цилиндрических магнитных доменах. Справочник. М.: Радио и связь, 1987.
- [7] Иванов Ю.В., Кандаурова Г.С. // Микроэлектроника. 1977. Т. 6. № 3. С. 242–248.

Московский университет им. М.В.Ломоносова

Поступило в Редакцию  
12 декабря 1992 г.